

بهبود تنش و برآورد خطای استفاده از تعادل در هر ناحیه از تحلیل ایزوژئومتریک

احمد گنجعلی^(۱)بهروز حسنی^(۲)

چکیده اولین روش برآورد خطای مبتنی بر بازیافت تنش در روش ایزوژئومتریک، بر پایه استفاده از خاصیت نقاط فرق همگرای گرسی بوده است. در این مقاله به بررسی روش برآورد خطای دیگری مبتنی بر ارضای معادلات تعادل در حل دو مثال الاستیسیته و همچنین تأثیر تعادل نقاط انتگرال گیری گرسی در کارایی این برآورد کننده خطای پرداخته می شود. در این روش با استفاده از ارضای معادلات تعادل در هر ناحیه از فضای محاسباتی تحلیل ایزوژئومتریک یک سطح تنش بهبود یافته به دست می آید که نشان داده خواهد شد این سطح تنش نسبت به سطح تنش ایزوژئومتریک و سطح تنش بهبود یافته مبتنی بر نقاط فوق همگرا دارای دقت بیشتری خواهد بود. برای بررسی کارایی این برآورد کننده خطای به مدل سازی و تحلیل دو مسئله الاستیسیته دارای حل تحلیلی و مقایسه نتایج بدست آمده از این روش با روش مبتنی بر نقاط فرق همگرا و نتایج دقیق پرداخته شده است. نتایج نشان دهنده کارایی بهتر این روش نسبت به روش بازیافت تنش بر پایه استفاده از خاصیت نقاط فوق همگرا است و بر این اساس می توان از این روش نیز به عنوان یک روش ساده و مؤثر دیگر برای بازیافت تنش و برآورد خطای در روش ایزوژئومتریک نام برد.

واژه های کلیدی تحلیل ایزوژئومتریک، برآورد خطای، بازیافت تنش، معادلات تعادل.

Improvement of Stress and Error Estimation by Patch Equilibrium in Isogeometric Analysis

A. Ganjali

B. Hassani

Abstract A method for error estimation of isogeometric analysis of plane stress problems, based on stress recovery by using the super convergent properties of the Gauss points, was introduced. In this paper, a different approach for improvement of stresses based on the satisfaction of equilibrium equations by taking into consideration of two elasticity problems is followed and the effect of the number of the Gauss quadrature points is studied. In this approach, the equilibrium equations are satisfied for each patch of the isogeometric analysis model and it has been shown that the recovered stresses are more accurate than the previous method where the super-convergent properties were used. To demonstrate the performance and efficiency of the method a couple of elasticity problems are considered and the obtained results are compared with the previous method and exact solutions. The results indicate that the suggested method can be employed for error estimation and stress recovery in the isogeometrical analysis method.

Key Words Isogeometric Analysis, Error Estimation, Stress Recovery, Equilibrium Equations.

*تاریخ دریافت مقاله ۹۱/۱۲ و تاریخ پذیرش آن ۹۳/۸/۸ می باشد.

(۱) نویسنده مسئول: استادیار، گروه عمران، دانشگاه آزاد اسلامی، واحد شاهروд، شاهروд، ایران. ahmad.ganjali@yahoo.com

(۲) استاد، گروه مکانیک، دانشکده مهندسی، دانشگاه فردوسی مشهد.

مقدمه

رایانه، این اتصال بین تحلیل مهندسی و طراحی به کمک رایانه به وجود نیامد.

از اولین تلاش‌هایی که برای ورود تکنیک‌های طراحی به کمک رایانه در تحلیل مهندسی صورت پذیرفت در سال‌های ۱۹۹۸ تا ۲۰۰۴ و توسط کیگان و همکاران [۱,۲] و هولیگ و همکاران [۳] انجام شد که در آن به جای توابع شکل مورد استفاده در اجزای محدود، از توابع پایه اسپلاین استفاده شده بود. در سال ۲۰۰۵ این ایده با استفاده از توابع نربز (بی-اسپلاین‌های نسبی غیریکنواخت) (Non-Uniform Rational B-Splines (NURBS)) که از توسعه توابع اسپلاین به دست می‌آیند توسط هیوز و همکارانش تکامل یافت و روش تحلیل ایزوژئومتریک نام گرفت [۴]. در این روش ضمن استفاده از خواص توابع پایه اسپلاین و نربز در تعریف دقیق منحنی‌ها، سطوح و احجام، همانند توابع شکل در روش اجزای محدود، از آنها برای درون‌یابی و تقریب‌سازی هم استفاده می‌شود. به‌طور خلاصه از مزایای روش ایزوژئومتریک در مقایسه با دیگر روش‌های عددی می‌توان به مواردی چون، امکان مدل‌سازی دقیق‌تر، دقت قابل ملاحظه در اقناع شرایط مرزی، عدم نیاز به شبکه‌بندی مجدد در مسائلی که مدل هندسی در حین حل دچار تغییر می‌شود، کاهش قابل ملاحظه اندازه دستگاه معادلات، انعطاف‌پذیری و سادگی در مسائل بهبود شبکه و قابلیت استفاده از این روش در حل معادلات دیفرانسیلی که ضرایب آنها خود تابعی متغیر می‌باشند اشاره کرد [۵]. در چند سال اخیر، روش ایزوژئومتریک به سرعت در زمینه‌های مختلفی هم‌چون دینامیک سیالات، مکانیک سازه‌ها و یا الکترومغناطیس توسعه داده شده است. هم‌چنین در این زمینه کتابی به چاپ رسیده است که برای مطالعه بیشتر می‌توان به آن مراجعه کرد [۶].

خطاب خوش جدانشدنی تحلیل‌های عددی به شمار می‌رود و همواره باعث نگرانی محققان در قابلیت

حل معادلات دیفرانسیل حاکم بر رفتار یک سیستم یکی از مهم‌ترین مسائلی است که همواره در زمینه‌های علوم و مهندسی مورد بحث قرار داشته است. در حالت کلی این معادلات پیچیدگی‌های بسیار زیادی دارند و تنها با استفاده از روش‌های عددی قابل حل می‌باشند. در دهه‌های اخیر با توسعه روش‌های مختلف عددی مواجه بوده‌ایم که از جمله مهم‌ترین آنها می‌توان به روش‌های تفاضل محدود، روش اجزای محدود و دسته روش‌های موسوم به روش‌های بدون مش اشاره کرد. از میان این روش‌ها، روش اجزای محدود به عنوان روشی قادرمند در بسیاری از علوم مهندسی شناخته شده و توسعه یافته است. این روش در دهه ۱۹۵۰ تا ۱۹۶۰ شکل گرفت و امروزه با کاهش عیوب و ادغام آن با روش‌های تفاضل محدود و بدون مش بسیاری از مشکلات دانشمندان مکانیک محاسباتی را مرتفع ساخته است. اما، علی‌رغم این پیشرفت قابل ملاحظه هنوز هم نمی‌توان روشی را یافت که بتوان آنرا کامل و بدون نقص نامید. از جمله این نواقص و مشکلات می‌توان به ضعف در تولید دقیق شکل مسائلی با هندسه پیچیده، ضعف در مدل‌سازی دقیق مسائلی با تغییرات شدید در خواص مصالح و نیز نیاز به تولید مکرر شبکه‌های المان‌ها در برخی مسائل، نظری مسائلی که در چارچوب لاغرانژی حل می‌شوند و یا مسائل بهینه‌سازی شکل سازه، اشاره نمود.

تقریباً یک دهه پس از شکل‌گیری روش اجزای محدود، بین سال‌های ۱۹۷۰ تا ۱۹۸۰، به دلیل توسعه رایانه‌ها پیشرفت‌های چشم‌گیری در علم مدل‌سازی هندسه به کمک رایانه (Computer Aided Design) (CAD) شکل گرفت. واضح است که تحلیل مسائل مهندسی بر مبنای هندسه استوار است و استفاده از این پیشرفت‌ها می‌تواند کمک شایانی به تحلیل مهندسی در رفع نقاچیص آن نماید. اما به دلیل عدم هم‌زمانی پیدایش روش اجزای محدود و روش‌های طراحی به کمک

تحلیل‌های عددی در این بخش به معرفی تعدادی از این روش‌ها در برآورده خطا در تحلیل اجزای محدود پرداخته می‌شود.

از اولین مقاله‌هایی که در آن یک روش عمومی از تخمین خطا بیان شده است، مقاله‌های ریچاردسون می‌باشد که در سال ۱۹۱۰ نوشته شده است. روش ریچاردسون در تخمین خطا از این حقیقت پیروری می‌کند که خطا در هر طرحی از تفاوت محدود، معمولاً به اندازه مشاهد مورد استفاده بستگی دارد [8]. کار اصلی در تخمین خطا در سال ۱۹۷۸ و توسط بابوشکا و رینبولت آغاز شد [9, 10]. روش آنها که روش باقیمانده‌ای نام گرفت بر این اساس بود که با قرار دادن حل حاصل از روش اجزای محدود در معادله دیفرانسیل اولیه و محاسبه مانده آن و نیز محاسبه پرش میدان گرادیان در لبه المان‌ها، تخمینی از خطای حل اجزای محدود به دست می‌آید [9]. دسته دیگر از روش‌های برآورده خطا، روش‌های بازیافتد تش می‌باشد که طبق تحقیقاتی که بابوشکا در سال ۱۹۹۴ توسط آزمون و صله خود انجام داد، پی برده شد که این روش‌ها در مقایسه با روش‌های باقیمانده‌ای از دقیق و هم‌گرایی بهتری برخوردار می‌باشند [11]. به طور کلی بازیافت تش روشی بهمنظر بالا بردن دقیق، و پیوسته و هموار نمودن میدان تش یا گرادیان میدان به دست آمده از حل اجزای محدود است. در این روش با استفاده از حل روش اجزای محدود، یک جواب نزدیک به حل دقیق یا تحلیلی در هر گره یا در نقاط دلخواه روی دامنه محاسبه شده است که دقیق بالاتری نسبت به حل اولیه اجزای محدود داشته است. به طور کلی این میدان تش بهبود یافته، به صورت زیر تعریف می‌شود:

$$\sigma^* = N \bar{\sigma}^* \quad (1)$$

که در آن $\bar{\sigma}^*$ مقادیر گرهی این میدان و N توابع شکل مورد استفاده در المان‌ها است. با استفاده از این

اعتماد نتایج بوده است. استفاده از روش برآورده خطا مبتنی بر بازیافت تنش در تحلیل ایزوژئومتریک (Recovery in Isogeometric analysis(SRI) توسط حسنی و همکاران مورد استفاده قرار گرفت [1]. اساس روش SRI، مشابه روش SPR در اجزای محدود، برگرفته از خاصیت فوق هم‌گرایی تنش در نقاط انتگرال‌گیری گوسی است. در این روش با استفاده از نقاط فوق هم‌گرایی گوسی برای هر مؤلفه تنش، یک سطح بهبود یافته تشکیل می‌شود که برای برآورده خطا ایزوژئومتریک مورد استفاده قرار می‌گیرد [5]. بعد از آن توسط همان محققان، یک روش بر پایه ارضای معادلات تعادل معرفی شد که باعث برآورده بهتری از خطا در داخل و نواحی مرزی دامنه تحلیل ایزوژئومتریک شد و کارایی آن در برآورده خطا سه مسئله الاستیسیته مورد ارزیابی قرار گرفت [7]. در این پژوهش ضمن بررسی عملکرد این روش در برآورده خطا دو مسئله نمونه با شرایط انتگرال‌گیری هندسی، به بررسی تأثیر تعداد نقاط انتگرال‌گیری گوسی در کارایی این برآورده کننده خطا پرداخته شده است.

تیر طرہ دایره‌ای شکل و صفحہ دایره‌ای تحت بار متمرکز فشاری دو مثال حل شده در این پژوهش می‌باشند. بهمنظر بررسی تعداد نقاط انتگرال‌گیری گوسی نیز، نسبت نرم خطا اثری دقیق و تقریبی کل دامنه (شاخص تأثیر) با چهار، نه، شانزده، بیست و پنج و سی و شش نقطه گوسی برای دو مثال حل شده در این پژوهش و سه مثال مرجع [7] مورد ارزیابی قرار گرفته است. نتایج به دست آمده از دو مثال حل شده در این پژوهش نیز نشان می‌دهد که برآورده خطا با استفاده از این روش نسبت به روش مبتنی بر نقاط فوق هم‌گرا، با دقیق بهتری صورت می‌پذیرد.

برآورده خطا در اجزای محدود

بهمنظر آشنایی با برخی از روش‌های تخمین خطا

$$a = A^{-1}b \quad (5)$$

در رابطه (5)، A و b به صورت زیر تعریف

می‌شوند:

$$A = \sum_{i=1}^n P^T(x_i, y_i)P(x_i, y_i) \quad (6)$$

$$b = \sum_{i=1}^n P^T(x_i, y_i)\sigma_h(x_i, y_i) \quad (7)$$

در این روابط، σ_h تنفس به دست آمده از روش اجزای محدود، x_i و y_i مختصات نقاط فوق همگرا یا نقاط بهینه تنفس در هر ناحیه و n تعداد المان‌های موجود در هر ناحیه است.

بعد از آن نیز تکنیک‌های بسیار دیگری توسط محققین ابداع شد که در هر یک بهنومنی به بهبود روش SPR پرداخته می‌شود. بدین منظور استفاده از قید معادلات تعادل برای بهبود کارایی روش SPR دنبال شد [15-21]. با توجه به عدم ارضای معادلات تعادل توسط تنفس بازیافتنی به دست آمده از روش SPR بهویژه در نزدیک مرزها، در این روش‌ها با استفاده از قید معادلات تعادل سعی بر بهبود کارایی برآورد کننده خطا شده است.

فرمول‌بندی تحلیل ایزوژئومتریک

به طور کلی در روش ایزوژئومتریک، مقدار مجھول مسئله در حالت دو بعدی، (به طور مثال مؤلفه تغییر مکان جهت x) به عنوان یک سطح نریز، طوری تعیین می‌شود که ارتفاع سطح تشکیل شده از تراز مبنای در هر نقطه از دامنه، بیان کننده مقدار مجھول مسئله در آن مکان باشد. در مسائل تنفس و کرنش مسطح، اگر نقاط کنترلی را به گونه‌ای انتخاب کنیم که مؤلفه‌های اول و دوم مختصات این نقاط، (P_x, P_y)، بتوانند هندسه مسئله را در صفحه xy برآورد کنند، در این صورت مؤلفه سوم مختصات این نقاط را طوری محاسبه می‌کنیم که درون یابی بین این نقاط به وسیله توابع پایه‌ای نریز نشان

میدان بهبود یافته، خطای بازیافت به صورت زیر تعریف می‌شود:

$$e_p^* = \sigma^* - \sigma_h \quad (2)$$

که در رابطه بالا σ_h تنفس ناشی از اجزای محدود می‌باشد. روش‌های متعددی برای بازیافت تنفس از حل اجزای محدود وجود دارد که از جمله ابتدایی ترین آنها می‌توان به روش میانگین گیری که توسط هینتن و کمپبل [12] در سال ۱۹۷۴ و روش تصویر L_2 که توسط اودن و برچلی [13] در سال ۱۹۷۱ به کار برده شده است اشاره کرد. در سال ۱۹۹۲ روش بازیافت تنفس بر مبنای نقاط فوق همگرا SPR توسط زینکویچ و زو [14] ابداع شد و گام بسیار بلندی در بازیافت تنفس برداشته شد. امروزه این روش به عنوان یکی از بهترین و مؤثرترین روش‌ها برای برآورده خطا در مسائل مهندسی به کار می‌رود. اساس این روش بر مبنای استفاده از نقاطی به نام نقاط فوق همگرا است که در آنها تنفس به دست آمده از تحلیل تقریبی نسبت به سایر نقاط از دقت بیشتری برخوردار می‌باشد. در این روش با برآشش یک میدان به صورت چند جمله‌ای با ضرایب نامعین بر روی گرادیان حاصل از روش اجزای محدود روی گروه المان‌های متصل به هر گره (ناحیه)، میدان گرادیان بهبود یافته تعیین می‌شود. این میدان به صورت زیر فرض می‌گردد:

$$\sigma_p^* = Pa \quad (3)$$

در رابطه فوق σ_p^* ، تنفس بهبود یافته، P مجموعه تک جمله‌ای‌های حداکثر هم درجه با توابع شکل المان و a مقادیر ثابت مجھول هستند. با کمینه کردن تابع (4) مقادیر مجھول مطابق رابطه (5) به دست می‌آید [14].

$$F(a) = \sum_{i=1}^n (\sigma_h(x_i, y_i) - \sigma_p^*(x_i, y_i))^2 = \\ = \sum_{i=1}^n (\sigma_h(x_i, y_i) - p(x_i, y_i)a)^2 \quad (4)$$

$$\begin{aligned} K_e &= \int_{\Omega_e} B^T (DB) d\Omega ; \\ F_e &= \int_{\Omega_e} R^T b d\Omega + \int_{\Gamma_{t_e}} R^T t d\Gamma \end{aligned} \quad (10)$$

و در نهایت با حل معادله (۹) و مشخص شدن بردار P می‌توان مؤلفه‌های کرنش و تنش را به صورت زیر بدست آورد.

$$\varepsilon = BP ; \quad \sigma = D\varepsilon \quad (11)$$

تشریح روش بازیافت تنش با استفاده از قید معادلات تعادل

به طور کلی در این روش، مشابه روش‌هایی که به منظور بهبود میدان تنش اجزای محدود در مراجع [۲۱، ۱۸] ارائه شده است، با معادل قرار دادن نیروهای عمل کننده بر یک ناحیه از فضای محاسباتی به دست آمده از تحلیل ایزوژئومتریک و میدان تنش بازیافتنی، می‌توان برای هر مؤلفه تنش به یک سطح تنش بهبود یافته دست یافت.

همان‌طور که در بخش قبل بیان شد، رابطه‌سازی تحلیل ایزوژئومتریک و نحوه به دست آمدن سطح جابه‌جایی به گونه‌ای است که با ارضای معادله تعادل در فضای تأثیر هر یک از المان‌های تحلیل ایزوژئومتریک، تعادل در کل دامنه مدل‌سازی شده برقرار می‌شود. در صورت وجود تعادل در کل دامنه، هر ناحیه نریز از دامنه مدل‌سازی شده در تحلیل ایزوژئومتریک نیز در شرایط تعادل قرار دارد. به این ترتیب می‌توان فرم ضعیف معادله دیفرانسیل تعادل را برای یک ناحیه مجزا از کل دامنه مدل‌سازی شده در تحلیل ایزوژئومتریک، به صورت زیر بیان نمود:

$$\begin{aligned} \int_{\Omega_p} B^T (DBP) d\Omega - \int_{\Omega_p} R^T b d\Omega \\ - \int_{\Gamma_t} R^T t d\Gamma + F_{\Omega - \Omega_p} = 0 \end{aligned} \quad (12)$$

دهنده تغییر مکان آن نقطه باشد. در حقیقت می‌توان رویه‌ای تشکیل داد که تصویر آن روی صفحه xy نشان‌دهنده هندسه مسئله و ارتفاع رویه در هر نقطه نسبت به صفحه xy نشان‌دهنده تغییر مکان آن نقطه باشد. بنابراین اگر تغییر مکان در جهت x و y را به ترتیب با u و v نشان دهیم، می‌توان تغییر مکان هر نقطه در داخل زیردامنه نریز (ناحیه) را به صورت زیر از روی نقاط کنترلی مربوط درون‌یابی کرد.

$$\mathbf{u} \approx \bar{\mathbf{u}} = \begin{Bmatrix} u(x, y) \\ v(x, y) \end{Bmatrix} = \begin{Bmatrix} \sum_{i=1}^n \sum_{j=1}^m R_{i,j}(\xi, \eta) P_{u,i,j} \\ \sum_{i=1}^n \sum_{j=1}^m R_{i,j}(\xi, \eta) P_{v,i,j} \end{Bmatrix} \quad (8)$$

در رابطه بالا $P_{i,j}$ ها نمایشگر بردار مؤلفه‌های سوم مختصات نقاط کنترلی نریز، $R_{i,j}$ توابع پایه‌ای نریز و n و m تعداد نقاط کنترلی در جهت‌های x و y می‌باشند.

با توجه به رابطه (۸) مشاهده می‌شود که تنها پارامتر مجھول برای تعیین سطح تغییر مکان در جهت x و y ، بردار P می‌باشد. محدودیتی که بردار مؤلفه‌های سوم مختصات نقاط کنترلی نریز را مشخص می‌کند، ارضای معادله دیفرانسیل تعادل در فضای تأثیر هر المان نریز تحلیل ایزوژئومتریک است؛ که در نهایت منجر به تشکیل معادله (۹) می‌شود.

$$KP = F \quad (9)$$

که در آن K ماتریس ضرایب (ماتریس سختی)، P مجھولات مسئله (مختصه سوم نقاط کنترلی) و F نیروهای خارجی وارد بر دامنه می‌باشند. حال با گسته‌سازی دامنه K و F به ترتیب از گردآوری ماتریس سختی و بردار نیروی هر المان از فضای پارامتری، مطابق با رابطه (۱۰) ساخته می‌شوند.

کل دامنه مدل‌سازی شده در تحلیل ایزوژئومتریک فرض کنیم، رابطه (۱۲) را می‌توان به صورت رابطه (۱۴) بیان نمود.

$$F_{\Omega} = \int_{\Omega_p} R^T b d\Omega + \int_{\Gamma_t^p} R^T t d\Gamma \quad (13)$$

$$\int_{\Omega_p} B^T(DBP) d\Omega = F_{\Omega} - F_{\Omega-\Omega_p} \quad (14)$$

حال در صورتی که $f = F_{\Omega} - F_{\Omega-\Omega_p}$ را به عنوان کل نیروهای وارد شده بر ناحیه جدا شده در نظر بگیریم و معلوم فرض کنیم، می‌توان ناحیه جدا شده را به عنوان یک سیستم مجزا در نظر گرفت و معادله دیفرانسیل تعادل را به فرم زیر برای آن بیان نمود.

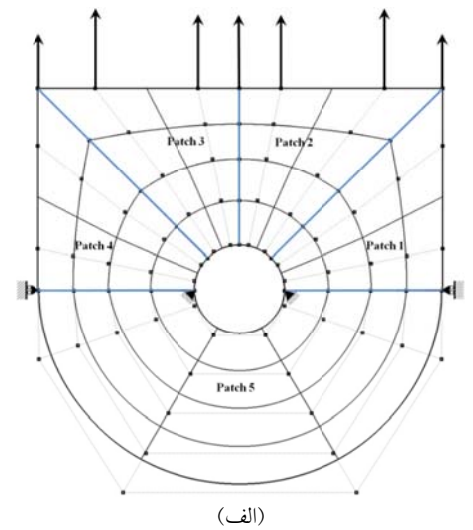
$$\int_{\Omega_p} B^T(\sigma) d\Omega = f = F_{\Omega} - F_{\Omega-\Omega_p} \quad (15)$$

که در آن σ میدان تنفس دقیق حاکم بر مسئله می‌باشد. با مقایسه روابط (۱۵) و (۱۴) می‌توان رابطه (۱۶) را نتیجه گرفت.

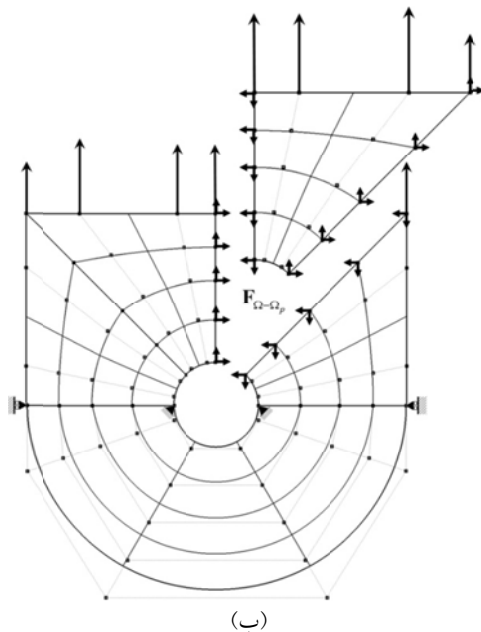
$$\int_{\Omega_p} B^T(\sigma) d\Omega = \int_{\Omega_p} B^T(DBP) d\Omega \quad (16)$$

رابطه (۱۶) محدودیتی است که به طور مستقیم بر میدان تنفس دقیق حاکم بر مسئله وارد می‌شود. حال میدان تنفس حاکم بر مسئله را، همانند سطوح مفروض برای جایه‌جایی، به صورت سطوح نربز با مختصه سوم مجھول نقاط کنترلی فرض می‌کنیم. بردار مختصات سوم نقاط کنترلی با استفاده از محدودیت معادله (۱۶) به دست خواهد آمد. واضح است که این سطوح تنفس بازیافتی نسبت به سطوح تنفس به دست آمده از تحلیل ایزوژئومتریک دارای دقت بیشتری خواهد بود. زیرا همان‌طور که در معادله (۱۶) مشاهده می‌شود، این سطوح تنفس بازیافتی با انگرال‌گیری مستقیم به دست می‌آید و مرتبه آن نسبت به سطوح تنفس به دست آمده

که در آن $F_{\Omega-\Omega_p}$ ، مطابق شکل (۱)، نیروهای عمل و عکس‌العمل بین ناحیه جدا شده و کل دامنه مدل‌سازی شده در تحلیل ایزوژئومتریک می‌باشد.



(الف)



(ب)

شکل ۱ مدل‌سازی یک مسئله دوبعدی در روش ایزوژئومتریک.
(الف) شبکه نقاط کنترلی، شبکه المان‌ها و شرایط مرزی دامنه مدل‌سازی شده با پنج ناحیه، (ب) ناحیه جدا شده و نیروهای وارد بر آن

در صورتی که مطابق رابطه (۱۳)، F_{Ω} را به عنوان نیروهای حجمی و سطحی وارد بر ناحیه جدا شده از

انرژی استفاده می‌شود. در این صورت نرم خطای انرژی تقریبی به صورت زیر تعریف می‌شود:

$$\|e\| = \|\bar{e}\| = \left[\int_{\Omega} (\sigma^* - \bar{\sigma})^T D^{-1} (\sigma^* - \bar{\sigma}) d\Omega \right]^{\frac{1}{2}} \quad (18)$$

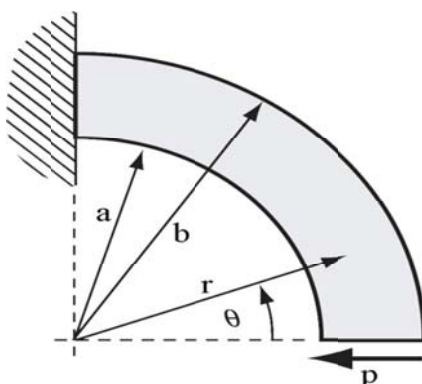
که در اینجا σ^* تنش بازیافتی و $\bar{\sigma}$ تنش به دست آمده از تحلیل ایزوژئومتریک می‌باشد. در نهایت مجموع نرم خطای انرژی المان‌ها، نرم خطای انرژی کل دامنه را تشکیل می‌دهد.

تیر طرء دایره‌ای شکل

در این بخش به مدل‌سازی یک تیر طرء دایره‌ای شکل الاستیک در شرایط تنش مستوی، توسط تحلیل ایزوژئومتریک و بازیابی تنش‌های آن پرداخته می‌شود (شکل ۲). پارامترهای به کار برده شده در مدل‌سازی و تحلیل این مسئله به صورت زیر می‌باشد:

$$a = 8, \quad b = 10, \quad P = 100, \quad E = 2 \times 10^5, \quad \nu = 0.3$$

تشهای دقیق این مسئله در دستگاه مختصات قطبی با توجه به پارامترهای تعریف شده در شکل (۴) به صورت روابط (۲۱-۲۱) در نظر گرفته شده است [23].



شکل ۲ تیر طرء دایره‌ای شکل

از تحلیل ایزوژئومتریک که از مشتق‌گیری میدان جابه‌جایی محاسبه می‌شود، بالاتر است.

با توجه به دقیق‌تر بودن سطح تنش بازیافتی نسبت به سطح تنش به دست آمده از تحلیل ایزوژئومتریک می‌توان از آن به عنوان یک تخمین کننده بالقوه خطا برای تحلیل ایزوژئومتریک استفاده نمود. روش کار این تخمین کننده خطا بدین صورت است که با در نظر گرفتن اختلاف بین سطح تنش بازیافتی و سطح تنش به دست آمده از تحلیل ایزوژئومتریک برای هر المان، به صورت تقریبی به معیاری برای تعیین میزان خطای موجود در آن المان دست پیدا کرد.

در ادامه به منظور بررسی کارایی این تخمین کننده خطا، به مقایسه نرم خطای انرژی تقریبی به دست آمده از این روش و روش مبتنی بر نقاط فوق همگرا و نرم خطای انرژی دقیق برای دو مسئله نمونه الاستیسیته پرداخته شده است.

فرم خطای انرژی

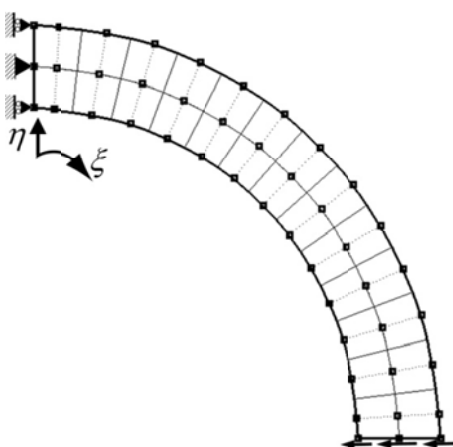
استفاده از معیارهایی مختلف برای تعیین میزان خطای متداول است. یکی از معروف‌ترین معیارهای بیان خطای معیار خطای انرژی است. طبق تعریف، نرم خطای انرژی دقیق تنش برای یک المان به صورت زیر بیان می‌شود [22]:

$$\|e\| = \left[\int_{\Omega} (\sigma - \bar{\sigma})^T D^{-1} (\sigma - \bar{\sigma}) d\Omega \right]^{\frac{1}{2}} \quad (17)$$

در این رابطه σ مقدار دقیق بردار تنش، $\bar{\sigma}$ تنش به دست آمده از حل تقریبی، D ماتریس الاستیسیته و Ω دامنه المان می‌باشد. با توجه به این‌که در حالت کلی، جز در مواردی خاص که حل تئوری بعضی از مسائل الاستیسیته موجود می‌باشد، حل دقیق مسئله در دسترس نمی‌باشد، لذا به جای استفاده از میزان دقیق تنش از میزان بهبود یافته آن برای محاسبه نرم خطای

روش مبتنی بر نقاط فوق هم‌گرا است. هم‌چنین شاخص تأثیر به دست آمده از روش جدید ۰/۷۵ و از روش قدیمی ۰/۵۹ می‌باشد. که این افزایش در شاخص تأثیر نیز نشان دهنده کارایی بهتر روش پیشنهادی می‌باشد. شاخص تأثیر نسبت مجموع نرم خطای تقریبی به نرم خطای دقیق می‌باشد که نشان‌گر میزان هم‌گرایی حل به سمت حل واقعی است و معیاری برای بیان دقت محاسبه‌گر خطای به شمار می‌رود. هنگامی یک محاسبه‌گر خطای دارای کارایی مناسب است که شاخص تأثیر به سمت یک میل نماید [22].

به عنوان نمونه در شکل (۵) و در مسیر $x=0/0^4$ نحوه تغییرات تنفس σ_{yy} و τ_{yy} به دست آمده از حل دقیق، تحلیل ایزوژئومتریک و روش بازیافت تنفس قدیمی و جدید ترسیم شده است. همان‌طور که مشاهده می‌شود نحوه تغییرات تنفس به دست آمده از روش مبتنی بر ارضای معادلات تعادل نسب به روش مبتنی بر نقاط فوق هم‌گرا، دقیق‌تر است که نشان دهنده کارایی مطلوب روش ارائه شده در این پژوهش در تشكل سطح تنفس بهبود یافته می‌باشد.



شکل ۳ شبکه نقاط کنترلی، شبکه المان‌ها و شرایط مرزی مدل‌سازی شده در تحلیل ایزوژئومتریک تیر طرۀ دایره‌ای

$$\sigma_r = \frac{P}{N} \left(r + \frac{a^2 b^2}{r^3} - \frac{a^2 + b^2}{r} \right) \sin \theta \quad (19)$$

$$\sigma_\theta = \frac{P}{N} \left(3r - \frac{a^2 b^2}{r^3} - \frac{a^2 + b^2}{r} \right) \sin \theta \quad (20)$$

$$\tau_{r\theta} = -\frac{P}{N} \left(r + \frac{a^2 b^2}{r^3} - \frac{a^2 + b^2}{r} \right) \cos \theta \quad (21)$$

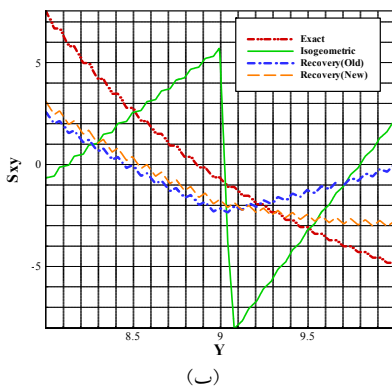
در روابط بالا N به صورت زیر در نظر گرفته شده است.

$$N = a^2 - b^2 + (a^2 + b^2) \log\left(\frac{b}{a}\right)$$

برای مدل‌سازی و تحلیل این تیر به روش ایزوژئومتریک از یک ناحیه و ۴۵ نقطه کنترلی استفاده شده است. هم‌چنین در جهت γ و η به ترتیب از توابع شکل نزیر درجه دو و درجه یک و بردارهای گرهی به صورت زیر استفاده شده است.

$$\begin{aligned} \gamma &= \begin{cases} 0, 0, 0, 0.08, 0.15, 0.23, 0.31, 0.38, 0.46, \\ 0.54, 0.61, 0.69, 0.77, 0.85, 0.92, 1, 1, 1 \end{cases}, \\ \eta &= \{0, 0, 0.5, 1, 1\} \end{aligned}$$

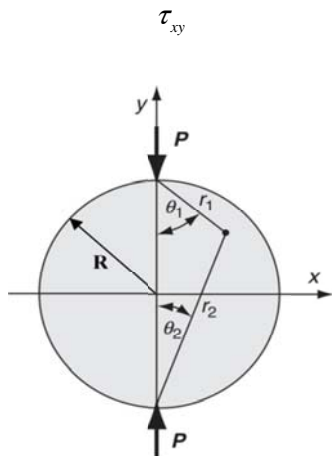
به منظور انتگرال‌گیری عددی و نقاط بهینه تنفس نیز شانزده نقطه گوسی مورد استفاده قرار گرفته است. در شکل (۳) آرایش المان‌ها و شبکه نقاط کنترلی به همراه شرایط مرزی اعمال شده در مدل‌سازی تیر طرۀ دایره‌ای نمایش داده شده است. در شکل (۴) نحوه توزیع نرم خطای انرژی دقیق و نرم خطای انرژی تقریبی به دست آمده از روش ارائه شده در این پژوهش (روش جدید) و روش مبتنی بر نقاط فوق هم‌گرا (روش قدیمی) نشان داده شده است. همان‌طور که مشاهده می‌شود نحوه تغییرات نرم خطای تقریبی به دست آمده از روش جدید نسبت به روش قدیمی، به تغییرات نرم خطای دقیق نزدیک است که نشان دهنده کارایی بهتر تخمین کننده خطای پیشنهادی نسبت به



(ب)

شکل ۵ نمودار تغییرات تنش طرہ دایره‌ای در مسیر $Y=9/0$.

الف) نمودار تغییرات مؤلفه تنش σ_y ب) نمودار تغییرات مؤلفه تنش τ_{xy}

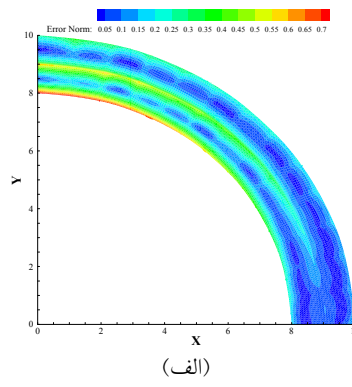


شکل ۶ صفحه دایره‌ای تحت نیروی فشاری متتمرکز

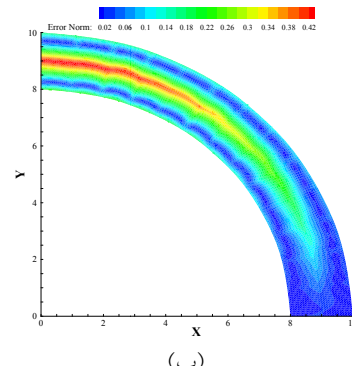
صفحة دایره‌ای تحت بار متتمرکز فشاری

در این مثال به بررسی رفتار تخمین کننده‌های خط، در برآوردهای به دست آمده از تحلیل مسئله دارای یک نقطه تکین با روش ایزوژئومتریک می‌پردازیم. معمولاً مسائل با نقطه تکین، به علت بالا بودن خطای آلودگی، مسائل خوبی برای بررسی کارایی تخمین کننده‌های خط به شمار نمی‌روند؛ اما هدف از این مثال، با توجه به این که زیر بار متتمرکز به عنوان یک نقطه تکین، دارای خطای زیادی نسبت به سایر نقاط است، بررسی رفتار تخمین کننده‌های خط در تعیین میزان نرم خطای انرژی زیر بار متتمرکز و توزیع خطای در دیگر نقاط دامنه، مؤثر خواهد بود.

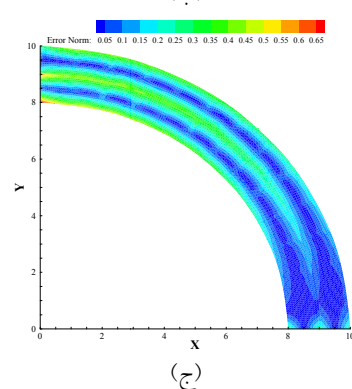
در شکل (۶) مشخصات صفحه دایره‌ای شکل



(الف)

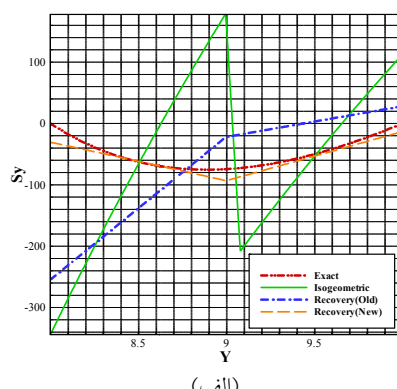


(ب)

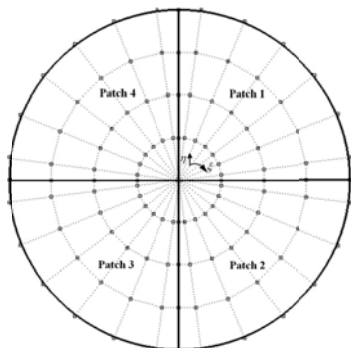


(ج)

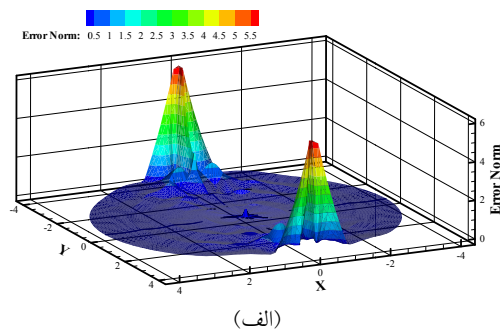
شکل ۴ نحوه توزیع قرم خطای انرژی زیر طرہ دایره‌ای. الف) نرم خطای انرژی دقیق، ب) نرم خطای انرژی تقریبی (روش قدیمی)، ج) نرم خطای انرژی تقریبی (روش جدید)



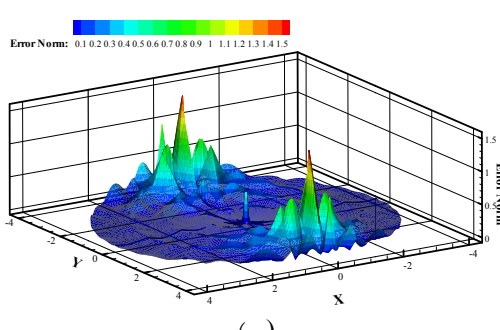
(الف)



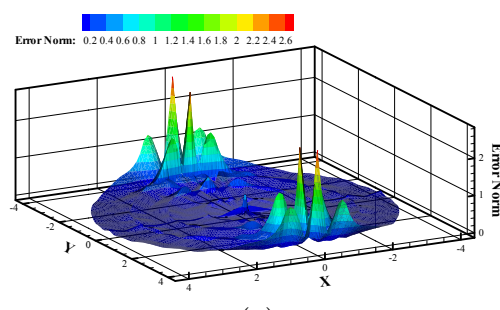
شکل ۷ شبکه نقاط کنترلی در مدل سازی صفحه دایره‌ای



(الف)



(ب)



(ج)

شکل ۸ نحوه توزیع نرم خطای انرژی صفحه دایره‌ای تحت بار متتمرکز فشاری. (الف) نرم خطای انرژی دقیق، (ب) نرم خطای انرژی تقریبی (روش قدیمی)، (ج) نرم خطای انرژی تقریبی (روش جدید).

تحت بار متتمرکز قطری مشاهده می‌شود. پارامترهای به کار گرفته شده برای تحلیل این مسئله به صورت زیر می‌باشد.

$$R = 2, P = 100, E = 1000, \nu = 0.3$$

تنشی‌های دقیق این مسئله با توجه به پارامترهای تعریف شده در شکل (۶) به صورت روابط (۲۲-۲۴) می‌باشد [23].

$$\sigma_x = -\frac{2P}{\pi} \left[\frac{(R-y)x^2}{r_1^4} + \frac{(R+y)x^2}{r_2^4} - \frac{1}{2R} \right] \quad (22)$$

$$\sigma_y = -\frac{2P}{\pi} \left[\frac{(R-y)^3}{r_1^4} + \frac{(R+y)^3}{r_2^4} - \frac{1}{2R} \right] \quad (23)$$

$$\tau_{xy} = \frac{2P}{\pi} \left[\frac{(R-y)^2 x}{r_1^4} - \frac{(R+y)^2 x}{r_2^4} \right] \quad (24)$$

در روابط بالا r_1 و r_2 به صورت زیر می‌باشند.

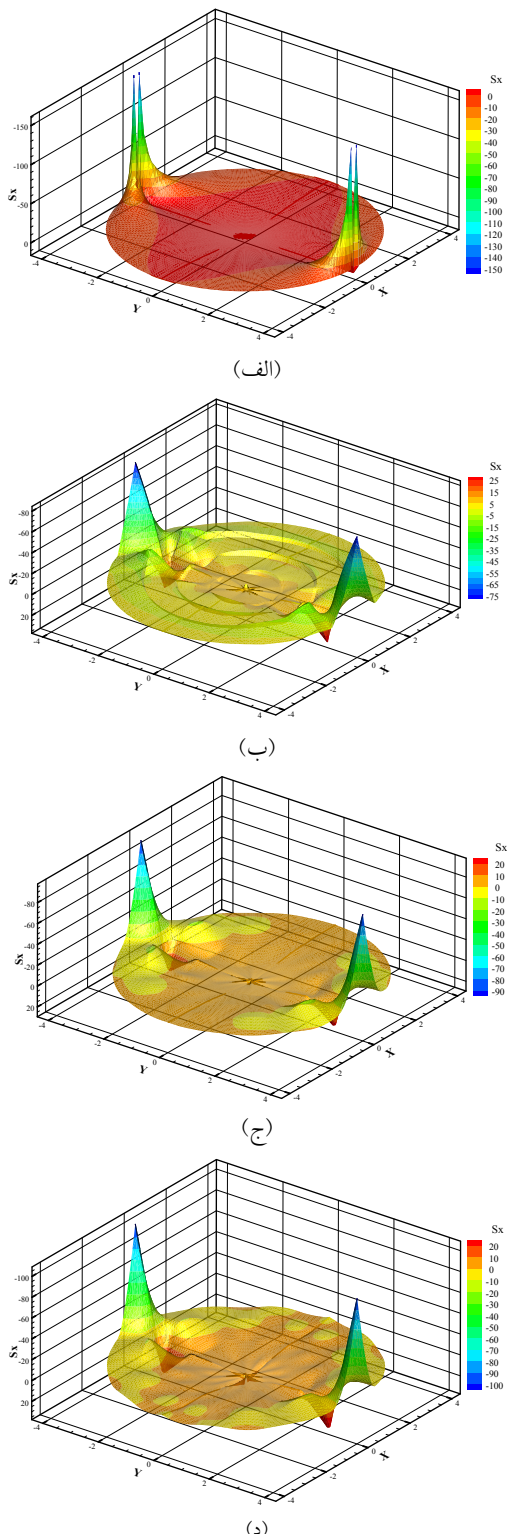
$$r_1 = \sqrt{x^2 + (R-y)^2}, \quad r_2 = \sqrt{x^2 + (R+y)^2}$$

برای مدل سازی و تحلیل این مسئله به روش ایزوژئومتریک از ۱۴۰ نقطه کنترلی و چهار ناحیه مشابه به شکل ربع دایره استفاده شده است (شکل ۷). در جهت $\hat{\gamma}$ و $\hat{\eta}$ هر ناحیه، به ترتیب از توابع شکل نزدیک درجه دو و درجه یک و بردارهای گرهی به صورت زیر استفاده شده است.

$$\begin{aligned} \hat{\gamma} &= \{0, 0, 0, 0.17, 0.33, 0.5, 0.67, 0.83, 1, 1, 1\}, \\ \hat{\eta} &= \{0, 0, 0.25, 0.5, 0.75, 1, 1\} \end{aligned}$$

به منظور انتگرال گیری عددی و نقاط بهینه تنش نیز شانزده نقطه گوسی مورد استفاده قرار گرفته است.

از این بررسی در جدول (۱) نشان داده شده است.



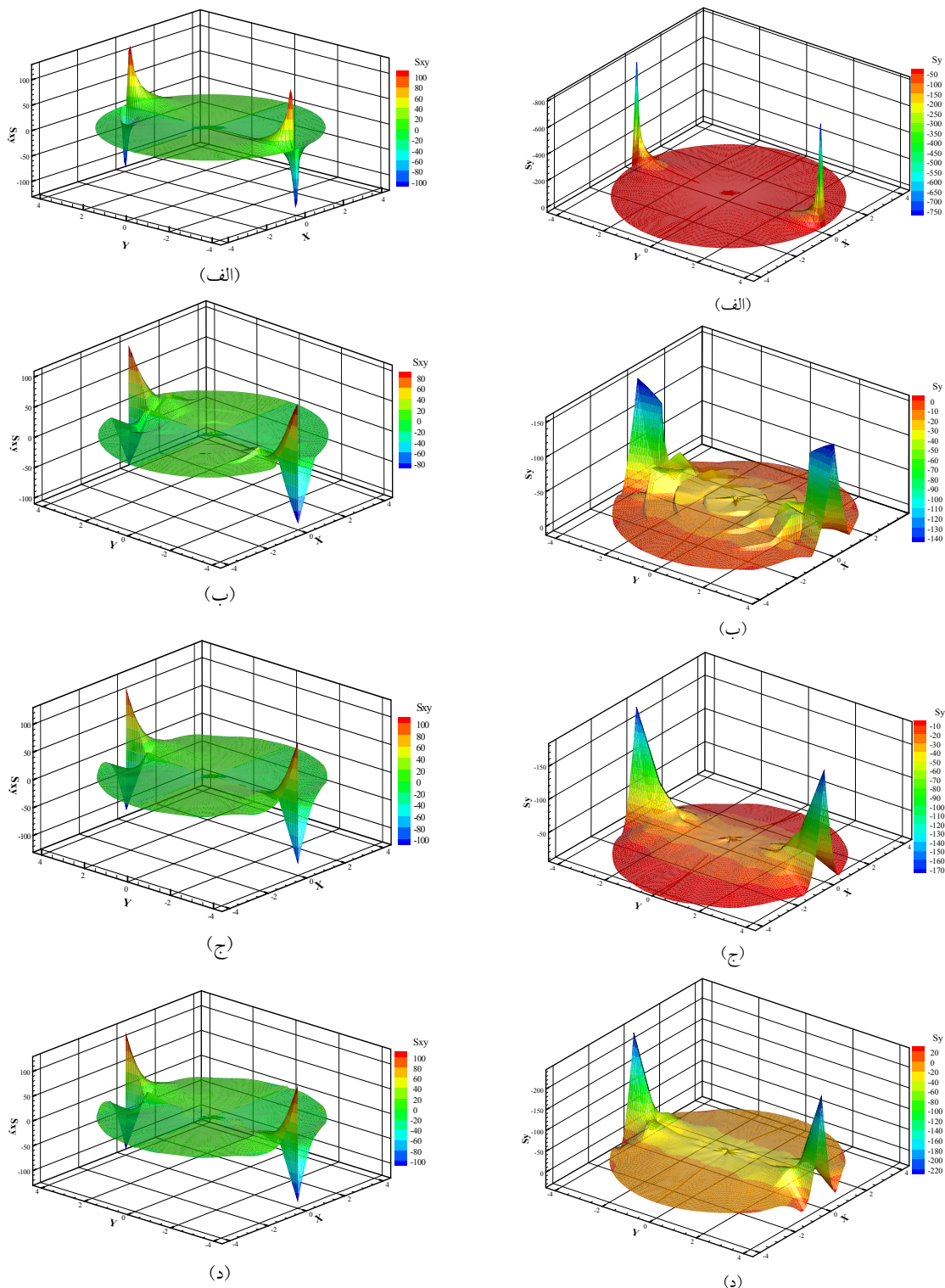
شکل ۹ نحوه توزیع تنش σ_x صفحه دایره‌ای تحت بار متمرکز فشاری. (الف) تنش دقیق، (ب) تنش ایزوژئومتریک، (ج) تنش بهبودیافته (روش قدیمی)، (د) تنش بهبودیافته (روش جدید).

در شکل (۸) نتایج به دست آمده از نرم خطای انرژی دقیق و تقریبی تحلیل صفحه دایره‌ای تحت بار مشاهده می‌شود، روش تخمین خطای جدید کارایی بهتری نسب به روش قدیمی در برآورد نرم خطای زیر بار متمرکز و توزیع نرم خطای کل دامنه دارد. در این مثال نیز شاخص تأثیر تخمین کننده خطای از مقدار $0.52/45$ برای روش قدیمی به مقدار 0.52 در روش جدید افزایش داشته است. که این افزایش شاخص تأثیر نیز نشان دهنده کارایی بهتر روش جدید نسب به روش مبتنی بر نقاط فوق هم‌گرا خواهد بود.

در شکل‌های (۹-۱۱) به مقایسه نحوه توزیع مؤلفه‌ای تنش به دست آمده از تحلیل دقیق، تحلیل ایزوژئومتریک و تنش‌های بازیافته به دست آمده از روش ارائه شده در این پژوهش و روش قدیمی مبتنی بر نقاط فوق هم‌گرا پرداخته شده است. همان‌طور که مشاهده می‌شود در مؤلفه‌های تنش σ_x و σ_y ، روش جدید نسبت به روش قدیمی از توزیع تنش مناسب‌تری برخوردار می‌باشد. در مورد توزیع تنش مؤلفه σ_{xy} ، هر دو روش توزیع مشابهی دارند اما همان‌طور که مشاهده می‌شود نسبت به توزیع تنش ایزوژئومتریک دقیق‌تر می‌باشند.

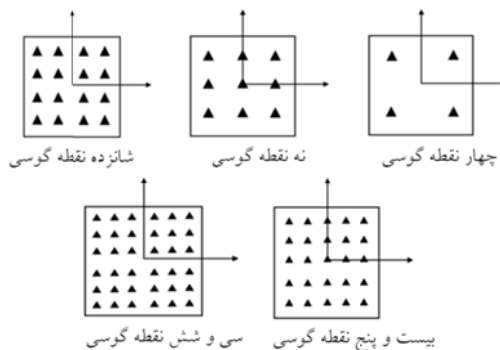
بررسی تأثیر تعداد نقاط انتگرال‌گیری گوسی بر کارایی برآورد کننده خطای

در این بخش به بررسی اثر تعداد نقاط انتگرال‌گیری گوسی بر کارایی برآورد کننده خطای بر مبنای اراضی معادلات تعادل در روش ایزوژئومتریک برای دو مثال ارائه شده در این پژوهش و سه مثالی که در مرجع [۷] ذکر شده است، پرداخته می‌شود. بدین منظور دامنه حل مسئله با پنج المان نربت با نقاط انتگرال‌گیری مختلف تحلیل شده و شاخص تأثیر برآورد کننده خطای در هر بخش مورد مقایسه قرار گرفته است. در شکل (۱۲) پنج المان نربت با چهار، نه، شانزده، بیست و پنج و سی و شش نقطه گوسی نشان داده شده است. نتایج حاصل



شکل ۱۰ نحوه توزیع تنش τ_{xy} صفحه دایره‌ای تحت بار متتمرکز فشاری. (الف) تنش دقیق، (ب) تنش ایزوژئومتریک، (ج) تنش بهبودیافته (روش قدیمی)، (د) تنش بهبودیافته (روش جدید).

شکل ۱۱ نحوه توزیع تنش σ_y صفحه دایره‌ای تحت بار متتمرکز فشاری. (الف) تنش دقیق، (ب) تنش ایزوژئومتریک، (ج) تنش بهبودیافته (روش قدیمی)، (د) تنش بهبودیافته (روش جدید).



شکل ۱۲ المان‌های نریز با تعداد نقاط گوسی مختلف در فضای پارامتری

جدول ۱ مقادیر شاخص تأثیر برآورده کننده خطای برای نقاط گوسی مختلف

| مسائل نمونه | | | | | تعداد نقاط انتگرال‌گیری به روش گوس |
|--|---|---|---|---|------------------------------------|
| صفحه ترکدار تحت کشش $\int \int = 1$ $\eta = 1$ توابع شکل | تیر طره تیموشکو $\int \int = 1$ $\eta = 1$ توابع شکل | تیر دوسر مفصل تحت بار گسترده $\int \int = 1$ $\eta = 1$ توابع شکل | صفحه دایره‌ای تحت بار متغیر فشاری $\int \int = 2$ $\eta = 1$ توابع شکل | تیر طره دایره‌ای شکل $\int \int = 2$ $\eta = 1$ توابع شکل | |
| ۰/۱۷۷ | ۰/۹۵ | ۰/۸۹ | ۰/۷۲ | ۰/۷۶ | چهار |
| ۰/۱۷۵ | ۰/۸۵ | ۰/۷۸ | ۰/۵۲ | ۰/۷۰ | ن ه |
| ۰/۱۸۱ | ۰/۹۳ | ۰/۸۵ | ۰/۵۲ | ۰/۷۵ | شانزده |
| ۰/۱۸۲ | ۰/۸۸ | ۰/۸۱ | ۰/۵۰ | ۰/۷۲ | بیست و پنج |
| ۰/۱۸۴ | ۰/۹۲ | ۰/۸۵ | ۰/۵۱ | ۰/۷۴ | سی و شش |

شاخص تأثیر و در نتیجه افزایش کارایی برآورده کننده خطای می‌شوند، ارتباطی نخواهد داشت.

نتیجه‌گیری

در این مقاله به بررسی کارایی روش برآورده خطای مبتنی بر ارضای معادلات تعادل به منظور بهبود میدان تنش و برآورده خطای دو مثال نمونه در تحلیل ایزوژئومتریک و هم‌چنین تأثیر تعداد نقاط گوسی مختلف بر کارایی آن پرداخته شد. این برآورده کننده خطای دو میان روش از روش‌های مبتنی بر بازیافت تنش در برآورده خطای تحلیل ایزوژئومتریک و بر پایه ارضای معادلات تعادل در هر ناحیه می‌باشد. ویژگی بارز این روش عدم نیاز به نقاط فوق هم‌گرا و استفاده

مهم‌ترین نتیجه‌ای که از نتایج جدول (۱) استنباط می‌شود این است که تأثیر تعداد نقاط انتگرال‌گیری گوسی بر کارایی این برآورده کننده خطای بسیار ناچیز است و مقدار شاخص تأثیر برای تمام نقاط گوسی تقریباً با هم برابر است. همان‌طور که مشاهده می‌شود برای تیر طره دایره‌شکل و صفحه دایره‌ای شکل تحت بار فشاری که دارای توابع پایه نریز با مرتبه یکسانی می‌باشند تعداد نقاط گوسی مختلفی بیشترین شاخص تأثیر برآورده کننده خطای را تولید کرده است. این ویژگی برای سه مثال دیگر نیز مشاهده می‌شود. بر این اساس نیز می‌توان بیان نمود که مرتبه توابع شکل مورد استفاده در تحلیل مسائل مختلف در این پژوهش با تعداد نقاط گوسی بهینه که منجر به بالاترین

کارایی بهتری نسبت به روش مبتنی بر نقاط فوق هم‌گرا برخوردار است و می‌توان از آن به عنوان یک راه حل ساده و مهندسی دیگر برای برآوردهای خطی و بهبود میدان تنش به دست آمده از تحلیل ایزوژئومتریک نام برد. هم‌چنین نتایج نشان داد که تعداد مختلف نقاط انگرال‌گیری به روش گوس تأثیر زیادی بر کارایی این برآوردهای خطی نداشته و تقریباً در تمام موارد شاخص تأثیرهای یکسانی را به دست می‌دهد.

یکسان از توابع شکل نربز در تخمین جابه‌جاوی و سطح تنش بهبود یافته است. با توجه به توزیع دقیق تر نرم خطی تقریبی حاصل از این روش و نرم خطی تقریبی به دست آمده از روش مبتنی بر نقاط فوق هم‌گرا در دو مسئله حل شده در این پژوهش، هم‌چنین افزایش شاخص تأثیر و نمایش بهتری از مؤلفه‌های تنش بهبود یافته به دست آمده از این روش، می‌توان بیان نمود که روش برآوردهای خطی مبتنی بر ارضی معادلات تعادل در این دو مثال نمونه نیز از

مراجع

1. Kagan, P., Fischer, A. and Bar-Yoseph, P.Z., "New B-Spline finite element approach for geometrical design and mechanical analysis", *International Journal for Numerical Methods in Engineering*, vol. 41, pp. 435-458, (1998).
2. Kagan, P., Fischer, A. and Bar-Yoseph, P.Z., "Mechanically based models: adaptive refinement for B-Spline finite element", *International Journal for Numerical Methods in Engineering*, Vol. 57, pp. 1145-1175, (2003).
3. Hollig, K., Reif, U. and Wipper, J., "Weighted extended B-Spline approximation of dirichlet problems", *SIAM Journal on Numerical Analysis*, Vol. 39, pp. 442-462, (2001).
4. Hughes, T.G.R., Cottrell, J.A. and Bazilevs, Y., "Isogeometric analysis: CAD, finite elements, NURBS, exact geometry and mesh refinement", *Computer Methods in Applied Mechanics and Engineering*, Vol. 194, pp. 4135-4195, (2005).
5. Hassani, B., Ganjali, A. and Tavakkoli, M., "An isogeometrical approach to error estimation and stress recovery", *European Journal of Mechanics A/Solids*, vol. 31, pp. 101-109, (2012).
6. Cottrell, J.A., Hughes, T.J.R. and Bazilevs, Y., "Isogeometric Analysis: toward integration of CAD and FEA", John Wiley & Sons, (2009).
7. حسنی، بهروز، گنجعلی، احمد، «استفاده از نیروهای وارد بر وصله‌های تحلیل ایزوژئومتریک جهت محاسبه تنش بهبود یافته و برآورد توزیع خطی»، مجله مکانیک سازه‌ها و شاره‌ها، دوره ۲، شماره ۲، صفحه ۲۹-۴۳، (۱۳۹۱).
8. Richardson, L.F., "The approximate arithmetical solution by finite differences of physical problems", *Philosophical Transactions of the Royal Society of London. Series A, Mathematical and Physical Sciences*, Vol. 210, pp. 307-357, (1910).
9. Babuska, I. and Rheinboldt, C., "A-posteriori error estimates for the finite element method", *International Journal for Numerical Methods in Engineering*, Vol. 12, pp. 1597-1615, (1978).
10. Babuska, I. and Rheinboldt, C., "Adaptive approaches and reliability estimates in finite element analysis", *Computer Methods in Applied Mechanics and Engineering*, Vol. 17-18, pp. 519-540, (1979).
11. Babuska, I., Strouboulis, T., Upadhyay, C.S. and Gangaraj, S.K., "A model study of the quality of a posteriori estimators for linear elliptic problems error estimation in the interior of patchwise uniform

- grids of triangles", *Computer Methods in Applied Mechanics and Engineering*, Vol. 114, pp. 307-378, (1994).
12. Hinton, E. and Campbell, J., "Local and Global Smoothing of Discontinuous Finite Element Functions Using a Least Square Method", *International Journal for Numerical Methods in Engineering*, Vol. 8, pp. 461-480, (1974).
 13. Oden, T.J. and Brauchli, J., "On the Calculation of Consistent Stress Distribution in Finite Element Approximation", *International Journal for Numerical Methods in Engineering*, Vol. 3, pp. 317-325, (1971).
 14. Zienkiewicz, O.C., Zhu, Z., "The superconvergent patch recovery and a posteriori error estimates. Part 1: The recovery technique", *International Journal for Numerical Methods in Engineering*, Vol. 33, pp. 1331-1364, (1992).
 15. Wiberg, N-E., Abdulwahab, F., "Patch recovery based on superconvergent derivatives and equilibrium", *International Journal for Numerical Methods in Engineering*, Vol. 36, pp. 2703-2724, (1993).
 16. Wiberg, N-E., Abdulwahab, F. and Ziukas, S., "Enhanced superconvergent patch recovery incorporating equilibrium and boundary conditions", *International Journal for Numerical Methods in Engineering*, Vol. 37, pp. 3417-3440, (1994).
 17. Blacker, T. and Belytschko, T., "Superconvergent patch recovery with equilibrium and conjoint interpolation enhancements", *International Journal for Numerical Methods in Engineering*, Vol. 37, pp. 517-536 (1994).
 18. Boroomand, B. and Zienkiewicz, O.C., "Recovery by equilibrium in patches (REP)", *International Journal for Numerical Methods in Engineering*, Vol. 40, pp. 137-164, (1997).
 19. LO, S.H. and LEE, C.K., "On using different recovery procedures for the construction of smoothed stress in finite element method", *International journal for numerical methods in engineering*, Vol. 43, 1223-1252, (1998).
 20. Rodenas, J.J., Tur, M., Fuenmayor, F.J. and Vercher, A., "Improvement of the superconvergent patch recovery technique by the use of constraint equations: The SPR-C technique", *International Journal for Numerical Methods in Engineering*, Vol. 70, pp. 705-727, (2007).
 21. Payen, D.J. and Bathe, K.J., "The use of nodal point forces to improve element stresses", *Computers and Structures*, Vol. 89, pp. 485-495, (2011).
 22. Zienkiewicz, O.C., Taylor, R.L. and Zhu, J.Z., "*The Finite Element Method*", 6th edition, Elsevier Butterworth-Heinemann, (2005).
 23. Sadd, M.H., "ELASTICITY: Theory, Applications, and Numerics", Elsevier Butterworth-Heinemann, (2005).